

中国科学院地球物理研究所

动力气象学論文集

(二)

(阻塞形势发展过程的数值研究)

叶笃正主编

科学出版社

中国科学院地球物理研究所

动力气象学論文集
(二)

(阻塞形势发展过程的数值研究)

叶篤正主編

科学出版社

1963

內 容 簡 介

本論文集共包括七篇論文，主要內容是用數值方法，研究了北半球冬季主要天氣系統之一——阻塞形勢的發展過程。

首先，對阻塞形勢的建立和崩潰過程，利用已有的模式進行了數值試驗，對模式性能和阻塞形勢發展過程的物理機制得到了初步的了解。其次，研究了阻塞形勢中無輻散流場的空間分布特性，分析了斜壓層結的不均勻性與阻塞高壓的關係，提出了一個考慮了斜壓層結不均勻性和準無輻散的理論模式，並具體模擬了一個試驗方案。經試驗結果表明，此方案有助於改進阻塞形勢建立的預報。最後，提出了一個完整的流體力學熱力學方程組的二層模式，並進行了實際的試驗，其效果是良好的，在實際天氣預報工作中應用完整方程組是可能的和有前途的。

本論文集可供氣象研究工作者、高等院校教育工作者、氣象業務工作者以及其他有關工作者參考。

統一書名 13·31·1780

動力氣象學論文集 (二)

(阻塞形勢發展過程的數值研究)

叶篤正主編

*

科學出版社出版 (北京朝陽門大街 117 号)

北京市書刊出版業營業許可證出字第 061 号

中國科學院印刷廠印刷 新華書店總經售

*

1963 年 7 月第 一 版

書號：2766 字數：202,000

1963 年 7 月第一次印刷

开本：787×1092 1/16

(京) 0901—1,700

印張：9 3/4

定价：1.40 元

200811

目 录

前言.....	1
冬季阻塞形势建立和崩溃的数值试验.....	张锡福、刘瑞芝 2
平衡方程的一个数值求解方案及其有关的数值结果.....	王宗皓、张耀科 56
阻塞形势的准无辐散流场三维演变特点.....	王宗皓 75
斜压层结不均匀性与涡旋运动.....	朱永禔 87
考虑斜压层结不均匀性的一个准无辐散模式.....	朱永禔 95
斜压准无辐散模式的一个试验方案及其在阻塞形势研究中的初步应用.....	
.....	朱永禔 张耀科 111
二层模式的完整流体力学热力学方程组在短期天气预报中的应用.....	曾庆存 133

前　　言

大型天气形势的剧烈轉变是天气預报中的一个重要問題，也是大气环流的一个基本問題。而且大型天气形势的剧烈轉变往往起源于阻塞高压的建立和崩潰。关于阻塞形势的建立和崩潰的天气学过程，已在“北半球冬季阻塞形势的研究”一书¹⁾中有比較詳細的討論。在該书的第三章中，也已涉及到一些阻塞形势的数值預报問題，但分析研究得还很不够。本論文集主要是对阻塞形势发展过程的数值預报作了进一步的分析和研究。

首先，我們利用已有的正压模式和斜压三参数模式，对各种类型的阻塞形势的建立和崩潰过程进行了多次的数值試驗，由此了解了一些有关这种重要天气形势的建立和崩潰过程的物理机制，并指出了所用模式的缺点。同时，我們还分析了阻塞形势建立和崩潰阶段的无輻散流場的空間分布特性。結果表明，对于建立阶段无輻散流場与高度場有較明显和規則的偏差。此外，通过另外一些个例分析，还得出了斜压层結的不均匀性与阻塞高压的建立有着联系。

为了弥补一般斜压参数模式的缺陷，并考虑平流层层結的特殊性及其貢献，我們提出了一个考慮斜压层結不均匀性和准无輻散的理論模式。根据这些結果以及“北半球冬季阻塞形势的研究”一书中所指出的問題，我們还具体設計了一种包括平流层的三层数值預报模式，編制了程序，并对阻塞形势建立的一个典型个例进行了各种情况的試驗。結果指出，考慮平流层层結特性和应用准无輻散流場，将有助于改进阻塞形势建立的預报。

在“北半球冬季阻塞形势的研究”一书中，还指出了非地轉过程在这种天气形势形成过程中的重要性，因此，我們还提出了一个比較有效的由高度場求无輻散流場的方法，并利用平衡方程代替地轉关系作了数值預报，同时也分析了阻塞形势建立过程中流場和气压場偏差的演变。为了进一步研究非地轉过程的重要性，在最后一文中还提出了一个两层非地轉模式(完整的流体力学热力学方程組)，解决了其中的計算稳定性問題，并在电子計算机上对实际天气进行了若干 24 小时的預报計算，結果是令人鼓舞的，在实际天气預报中应用完整方程組是可能的和有前途的。

1) 叶篤正等著，科学出版社，1962 年出版。

冬季阻塞形势建立和崩溃的数值试验

张 锡 福 刘 瑞 芝

(中国科学院地球物理研究所)

提 要

本文根据阻塞形势建立和崩溃过程的天气学分类^[4],选出各种类型的个例,应用中央气象局气象科学研究所数值预报组和中国科学院计算技术研究所共同设计的正压模式和斜压三参数模式,进行了数值计算。计算结果表明,当高压脊已发展到很强大时,正压模式可以报出高压脊切离为孤立高压。但是,高压位置比实况偏东,高压强度也弱,发展过程也和实况不太一致。而对平浅的高压脊,上述模式都不能算出高压脊北部很强的正变高,因而预报图上没有阻塞形势建立。三参数模式中,平均层上下的风速垂直分布,分别满足 $\mathbf{V} = \bar{\mathbf{V}} + A(\rho) \mathbf{V}_T$, 其中 $A(\rho)$ 是 ρ 的线性函数。而用实测风计算出的 $A(\rho)$,在高压脊附近有特殊分布,用这种 $A(\rho)$ 作试验,就能报出平浅高压脊发展成阻塞高压的建立过程。但是,其他地区的预报却变坏了,因此,考虑斜压参数的水平差异是很重要的。当阻塞形势崩溃过程中,环流演变不激烈时,正压模式可以报出长波系统的形势。但在环流变化很大的情况下,三参数模式可以给出比较满意的結果。

一、前 言

阻塞形势的建立和崩溃过程是大气环流非周期演变过程的一个重要环节。这种典型的经向环流的建立和崩溃过程,总是伴随着一定趋势的中期天气过程。因此,探索阻塞形势的建立和崩溃过程的物理机制,对理论研究工作以及实际预报工作都有很重要的意义。对阻塞形势的建立和崩溃过程的物理机制的研究,可以从各种角度用不同的方法来进行。而数值试验方法是一个很有效的工具。目前对阻塞形势的数值研究并不多,而且也只限于个例的计算,所得结果的出入也很大。如 Bolin^[1] 认为在正压模式中考虑整层辐散后,就可能使高压脊切断成闭合高压。而顾震潮等^[2,3]认为高压脊切断成闭合高压的关键,在于报出 500 毫巴等压面上高压脊南部的负变高,而这负变高是辐散项的作用造成的,因此,只有用三参数模式才有可能报出。朱抱真等^[4]却认为即使用五层准地转模式对阻塞形势的建立作数值计算也不一定有效,而在考虑非地转风的作用后,就有可能报出高压脊北部很强的正变高(其强度由南向北迅速减弱),这样,高压脊才可能发展成闭合高压。后来,在 K. Pedersen 的工作中^[5]中发现,用一层无辐散模式亦可获得高压脊发展为闭合高压的过程。所以会出现上述看法的不一致,一方面是因为采用的个例不同,各个个例的发展

具有各自的特点。另一方面，即使所选的个例属于同一类型，但是因为在发展过程的不同阶段中，物理机制不一定相同，不同模式对各个发展阶段的描述能力也有差别。因此，如果初始场取自不同的发展阶段，计算结果也可能不同。

朱抱真等^[4]对阻塞形势崩溃过程进行了个例数值计算，他们认为阻塞形势崩溃是正压过程。但是，天气学研究^[4]却表明，阻塞形势崩溃有很多种类型，所以我们推断，某些类型不一定是正压过程。

我们根据阻塞形势建立和崩溃的天气学分类^[4]，选出有代表性的个例，应用中央气象局气象科学研究所数值预报组与中国科学院计算技术研究所共同设计的一层模式和三参数模式进行数值试验。一方面进一步探索阻塞形势建立和崩溃的物理机制，另一方面也可以了解模式的性能。由此，可为设计新模式提供依据，以便更有效地进行研究。

二、模式的简单介绍

§ 2.1 一层北半球地转流函数

模式的基本方程为

$$\Delta\psi^{(t_0)} = \frac{g}{f} \Delta z^{(t_0)} - \frac{g}{f^2} \nabla z^{(t_0)} \cdot \nabla f, \quad (1)$$

$$\Delta \left(\frac{\partial \psi}{\partial t} \right)^{(t)} = (m^2 \Delta \psi + f, \psi)^{(t)}, \quad (2)$$

$$\psi^{(t+\delta t)} = \psi^{(t)} + \left(\frac{\partial \psi}{\partial t} \right)^{(t)} \delta t, \quad (3)$$

$$\Delta z^{(t+n\delta t)} - \frac{1}{f} \nabla z^{(t+n\delta t)} \cdot \nabla f = \frac{f}{g} \Delta \psi^{(t+n\delta t)}, \quad (4)$$

其中因变量 ψ 为 500 毫巴等压面上地转流函数¹⁾， Δ 为二维拉普拉斯算符， f 为地转参数， $(A \cdot B) = \frac{\partial A}{\partial x} \frac{\partial B}{\partial y} - \frac{\partial A}{\partial y} \frac{\partial B}{\partial x}$ ， m 为地图投影放大系数， δt 为时间步长， z 为 500 毫巴等压面高度。

根据给定的 500 毫巴高度初值 $z^{(t_0)}$ ，由方程 (1) 可解出地转流函数 $\psi^{(t_0)}$ ，然后反复运用方程 (2) 和 (3)，可以获得预报时刻的 ψ ，最后，由方程 (4) 反求 500 毫巴预报高度场。

方程 (1), (2) 和 (4) 用正三角形格网上的差分形式表达，而后在一定边界条件下，对上述差分方程在正六边形区域内 (817 个格网点) 用 Liebmann 外推迭代法进行求解。若取网格距 $d = 660$ 公里时，求解区域接近北半球范围。而取 $d = 330$ 公里，则预报区域相当于亚欧范围。为了方便，我们将前者称为模式 I，而后者为模式 II。

§ 2.2 准地转三参数斜压模式

模式中假定风速的垂直分布为

$$\mathbf{V}(x, y, p, t) = \bar{\mathbf{V}}(x, y, t) + \mathbf{V}_r(x, y, p, t), \quad (5)$$

1) 由于简化的平衡方程(1)中引用了地转假定，所以把由此得出的 ψ 称为地转流函数。

其中 $\bar{\mathbf{V}}$ 为平均层 ($p = \bar{p}$) 上水平风速矢量, \mathbf{V}_T 为热成风速矢量, 其表达式为

$$\mathbf{V}_T(x, y, p, t) = \begin{cases} A_1(p)V_1(x, y, t), & p_2 \leq p \leq \bar{p} \text{ (对流层上部)}, \\ A_2(p)V_2(x, y, t), & \bar{p} \leq p \leq p_0 \text{ (对流层下部)}, \end{cases} \quad (6)$$

$$\begin{cases} A_1(p) = \frac{\bar{p} - p}{\bar{p} - p_3}, \\ A_2(p) = \frac{\bar{p} - p}{\bar{p} - p_f}. \end{cases} \quad (7)$$

取 $\bar{p} = 500$ 毫巴, $p_3 = 300$ 毫巴, $p_f = 850$ 毫巴, $p_2 = 200$ 毫巴, $p_0 = 1000$ 毫巴.

在上述假定下, 应用地轉关系式以及边界条件 $\omega_{p_2} = \omega_{p_0} = 0$, 可由簡化的渦度方程和絕热方程得到下面的預报方程:

$$\left. \begin{aligned} \Delta \frac{\partial \bar{z}}{\partial t} &= \left(\frac{gm^2}{f} \Delta \bar{z} + f, \bar{z} \right) + (\bar{A}_1^2) \left(\frac{gm^2}{f} \Delta h_1, h_1 \right) + (\bar{A}_2^2) \left(\frac{gm^2}{f} \Delta h_2, h_2 \right), \\ (\Delta - \lambda_1^2) \frac{\partial h_1}{\partial t} &= \left(\frac{gm^2}{f} \Delta h_1, \bar{z} \right) + \left(\frac{gm^2}{f} \Delta \bar{z} + f, h_1 \right) + a_1(h_1, \bar{z}) + \\ &\quad + b_1 \left(\frac{gm^2}{f} \Delta h_1, h_1 \right) + c_1 \left(\frac{gm^2}{f} \Delta h_2, h_2 \right), \\ (\Delta - \lambda_2^2) \frac{\partial h_2}{\partial t} &= \left(\frac{gm^2}{f} \Delta h_2, \bar{z} \right) + \left(\frac{gm^2}{f} \Delta \bar{z} + f, h_2 \right) + a_2(h_2, \bar{z}) + \\ &\quad + b_2 \left(\frac{gm^2}{f} \Delta h_1, h_1 \right) + c_2 \left(\frac{gm^2}{f} \Delta h_2, h_2 \right). \end{aligned} \right\} \quad (8)$$

其中 (\bar{A}_1^2) ; (\bar{A}_2^2) , b_1 , b_2 , c_1 , c_2 为与 $A(p)$ 有关的参数; 参数 λ_1^2 , λ_2^2 , a_1 , a_2 依赖于 $A(p)$ 及 靜力稳定度; \bar{z} 为平均等压面 \bar{p} 的高度, h_1 和 h_2 分别为 $p_3 - \bar{p}$ 及 $\bar{p} - p_f$ 的相对高度(厚度).

模式中对方程(8)以局地格林函数法进行求解, 矩形求解区域内取 462 个正三角形格网点, 格距 $d = 450$ 公里时, 可获得亚欧范围的預报. 为了便于討論, 将此模式称为模式 III.

由于模式 I, II 中, 未知函数为地轉流函数, 而模式 III 为等压面位勢高度, 而且它們的求解方法, 采用的格距, 求解区域等都不相同, 因此要从計算結果的比較中討論斜压作用对阻塞形势发展过程的影响就有一定困难. 为了便于比較起見, 我們令方程(8)中参数 (\bar{A}_1^2) 和 (\bar{A}_2^2) 为零, 則有相当于准地轉正压模式(以后簡称之为模式 IV).

三、阻塞形势建立过程的数值試驗

为了便于对正压模式与斜压模式的計算結果进行比較, 又考慮到阻塞形势主要表現在对流层中层, 因而我們将着重分析 500 毫巴的計算結果. 另外, 由于篇幅的限制, 不可能对每个个例都进行詳尽的分析和討論, 我們只通过有代表性的个例分析来概括其余个例的計算結果. 但是, 既然是以环流形势的演变来判断計算結果的成敗, 那就有必要尽量给出各个个例的預报图(表 1). 其中某些个例将只給出概要图, 图上繪有标志初始場、实

表 1. 阻塞形势建立和崩溃的实例計算

个例 編號	初始时刻	模式 代号	預報時間	圖 例
1	1960年 2月 2日 00时*	IV	24小时, 48小时	500毫巴初始場(图 1) 24 小时預報及实况簡图(图 2), 24 小时預報变高及实况变高图(图 3), 48 小时預報图(图 5)
			III	24小时, 48小时 24 小时預報图(图 11), 模式 III 及 IV 24 小时預報变高图(图 12), 48 小时預報图(图 13)
		I	24小时	500毫巴初始場, 24 小时預報及 24 小时后实况簡图(图 6)
2	1956年12月 6日 00时			500毫巴初始場圖(图 7)
3	1960年 3月 5日 00时	IV	24小时	500毫巴初始場, 24 小时預報及 24 小时后实况簡图(图 8)
4	1958年 3月 16日 00时	II		500毫巴初始場圖(图 9)
				500毫巴初始場, 24 小时預報及 24 小时后实况簡图(图 10)
5	1959年 1月 5日 00时			图略
6	1958年 1月 27日 00时 (欧洲地区)	III	24小时, 48小时	1958 年 1 月 27 日 00 时 500 毫巴图(图 14), 1958 年 1 月 28 日 00 时 500 毫巴 图(图 15), 1958 年 1 月 29 日 00 时 500 毫巴图(图 16) 500 毫巴 24 小时預報图(图 17), 300 毫巴 24 小时預報图(图 18), 500 毫巴 48 小时預報图(图 19), 24 小时預報及实况变高图(图 20), 初始場各測站实測風斜压参数 \bar{A}_1^2, \bar{A}_2^2 分布图(图 21), 个别測站 $A(p)$ 随高度分布图(图 22), 参数 I, 500 毫巴 24 小时預報图(图 23), 参数 I, 500 毫巴 24 小时預報变高图(图 24), 参数 I, 300 毫巴 24 小时預報图(图 25), 1958 年 1 月 28 日 00 时 300 毫巴图(图 26), 参数 I, 850 毫巴 24 小时預報图(图 27), 500 毫巴 48 小时預報图(图 28), 参数 II, 500 毫巴 24 小时預報图(图 29), 1958 年 1 月 27 日 00 时 850 毫巴图(图 30), 1958 年 1 月 28 日 00 时 850 毫巴图(图 31), 参数 II, 850 毫巴 24 小时預報图(图 32), 参数 II, 300 毫巴 24 小时預報图(图 33)
7	1958年 1月 11日 00时	II	24小时, 48小时	500毫巴初始場(图 34), 24 小时預報图及实况簡图(图 35), 48 小时預報图及实况簡图(图 36)
			III	500毫巴 24 小时預報图及实况簡图(图 49)
8	1958年 1月 27日 00时 (烏拉尔地 区)	IV	24小时, 48小时	500毫巴初始場圖(图 37)
			III	24 小时預報图及实况簡图(图 38), 48 小时預報图及实况簡图(图 39)
		II	24小时	24 小时預報图(图 50)
9	1957年11月 8日 00时	II	24小时	500毫巴初始場(图 40a), 1957 年 11 月 9 日 00 时 500 毫巴图(图 40b), 24 小时預報图(图 41)
			I	24 小时預報图(图 42)
		III	24小时	500毫巴初始場渦度分布图(图 48a, 大网格),

(續表 1)

個例 編號	初始時刻	模式 代號	預報時間	圖	例
				500 毫巴初始場渦度分布圖(圖 48b, 小網格), 24 小時預報圖(圖 51), 初始場實測風計算之斜壓參數 \bar{A}_1^1, \bar{A}_2^1 分布圖(圖 59), 1957 年 11 月 9 日 00 時 300—500 毫巴厚度圖(圖 60a), 1957 年 11 月 9 日 00 時 500—850 毫巴厚度圖(圖 60b), 300—500 毫巴厚度場 24 小時預報圖(圖 61a), 500—850 毫巴厚度場 24 小時預告圖(圖 61b), 參數 II, 300—500 毫巴厚度場 17 小時預報圖(圖 62a), 參數 II, 500—850 毫巴厚度場 17 小時預報圖(圖 62b), 參數 I, 500 毫巴 24 小時預報圖(圖 63)	
10	1959 年 1 月 12 日 00 時	IV		500 毫巴初始場及渦度分布圖(圖 52a), 1959 年 1 月 13 日 00 時 500 毫巴圖(圖 52b), 1959 年 1 月 14 日 00 時 500 毫巴圖(圖 52c)	
			24 小時, 48 小時	24 小時預報圖(圖 43), 48 小時預報圖(圖 44)	
			24 小時, 48 小時	24 小時預報圖(圖 53), 48 小時預報圖(圖 54)	
11	1957 年 10 月 11 日 00 時	II	24 小時	500 毫巴初始場、24 小時預報及 24 小時後實況簡圖(圖 45)	
		IV	24 小時	24 小時預報圖(圖 46)	
		III	24 小時, 48 小時	500 毫巴 24 小時預報圖(圖 56), 500 毫巴 48 小時預報圖(圖 57), 500 毫巴初始場圖(圖 55a), 1957 年 10 月 12 日 00 時 500 毫巴圖(圖 55b), 1957 年 10 月 13 日 00 時 500 毫巴圖(圖 55c), 初始場實測風計算斜壓參數 \bar{A}_1^1, \bar{A}_2^1 分布圖(圖 58)	
12	1958 年 1 月 30 日 00 時			圖略	
13	1960 年 2 月 9 日 00 時	II	24 小時	500 毫巴初始場圖(圖 5), 24 小時預報及實況簡圖(47)	

* 表中時間均为世界時。

況及計算結果的若干等高線，由這些具有代表性的線足以分辨出環流形勢的特徵。

在分析計算結果之前，首先闡明一下我們判定預報成敗的標準。很多作者常用相關系數等統計數字來衡量數值計算結果的成敗，我們認為這種判斷方法是有一定局限性的。在實際效果上，往往不能說明模式的真正能力，特別是當我們用數值方法研究一些特殊系統時，採用這種檢驗方法就更不恰當。也有人只從預報的環流形勢與實況比較來評定模式的能力。我們認為還應當對計算所得的過程進行分析，換言之，應根據環流的演變來檢驗計算結果。因為，預報的環流形勢可以與實況相似，但發展過程却可以完全不同。而環流演變過程才真正體現了發展的機制。由於人們對阻塞形勢的觀念不同，對它的建立和崩潰的標誌也就有不同的看法。例如，有人把阻塞形勢定義為西風帶中出現閉合高壓，自然就會把閉合高壓的出現(消失)作為阻塞形勢建立(崩潰)的標誌。然而，移動性的小高壓或持續日期僅一兩天的孤立小高壓的生成並不一定促成大型環流的劇變。因而，機械地以閉合高壓的形成(消失)作為阻塞形勢建立(崩潰)的標誌是不恰當的。根據天氣學研

究^[4];将阻塞形势定义为对中緯度天气系統起阻塞作用的稳定經向环流形势,其成員包括中緯度強大且稳定的高压,在其上下游有較深的低压系統(低压槽或切断低压),有时还有构成 Ω 形勢的横槽。因此,我們把閉合高压及其上下游的低压槽作为整体來討論計算結果是否給出了阻塞形势的建立。另外,阻塞形势崩溃时,伴随着大型环流的突变,而阻塞高压本身却不一定消失;它可以向东南或向南方退却,甚至还有向西移动的情况^[4]。因而,我們將根据流型是否突变以及演变的过程来判定計算結果的成敗。

§ 3.1 应用正压模式計算的結果

我們对五个阻塞形势建立的实例(表 1 中个例 1—5)用正压模式进行了数值計算。其中例 1—3 都算出了高压脊切断成閉合高压。它們的初始場和涡度分布有很多相似之处。以下我們以例 1 为代表加以說明。

取 1960 年 2 月 7 日 00 世界时为初始时刻,在 500 毫巴初始場上大西洋东岸的高压脊已經具有很大的經向度了(图 1),其上下游的低压槽也延伸到它的南端,已具有阻塞形势的雛形,只不过還沒有高压中心。但是高压中部的等高綫已很稀疏,相应的地轉风很弱,这一地区的负涡度向下传递微弱(图 1)。同时,在高压脊上游,大部地区的等高綫和等涡度綫近于平行,沒有正涡度平流,使高压脊減弱,只有在它的南部,等高綫和等涡度綫才有交角,因有正涡度平流到高压脊南部。显然,通过涡度平流的作用就有可能将高压脊切离成孤立高压。但是,計算所得的高压中心位置比实况偏东 6—7 个經度(图 2),高压中心强度也比实况低 120 米。在实际的发展过程中,伴随着上游槽加深的东移过程,高压脊西侧得到加強,同时也加強了切断的阻塞高压。而模式 IV 沒有报出这一过程。由变高分布来看(图 3),在預报的高压中心地区的变高竟是負值,而实况应是正值。48 小时后,阻塞形势演变成典型的 Ω 形勢(图 4),而 48 小时預报图上的高压已減弱得和实况无法比拟了(图 5)。

对例 2, 3, 正压模式所給出的高压脊切断过程和例 1 相同。其中的例 2, K. Pedersen 曾用正压模式作过預报。預报的过程和我們的預报相同。但是此例的阻塞形势建立过程是高压脊东北部的低压槽沿着高压脊东側向西南发展,一方面将高压脊切断,一方面与高压脊上游的切断低压合并(見图 6 上的細虛綫)。正压模式并沒有算出这个低压槽的发展过程,由此看来,正压模式預报的高压脊切断过程可以和实况过程不一致。

另外两个例子(例 4 和 5)的計算結果与实况偏离就更大。它們的初始場形势和預报結果也都相似,我們以例 4 作代表來說明。以 1958 年 3 月 16 日 00 世界时作为初始时刻,初始場上的高压脊还比較平浅(图 9),上下游低压槽都未发展到高压脊的南部,也就是都沒有略具横槽的形式。这时,在高压脊的上游有較強的正涡度平流将高压脊削弱(图 9)。模式 II 計算的結果,正是在高压脊上游的低压槽向东南方加深,而使得高压脊減弱(图 10)。虽然实况也是在这一地区有低压槽发展(图 10 上細虛綫),但高压脊北部却大为加强,因而就出現了阻塞高压。由此看来,在高压脊的經向度还不够大时,仅仅依靠涡

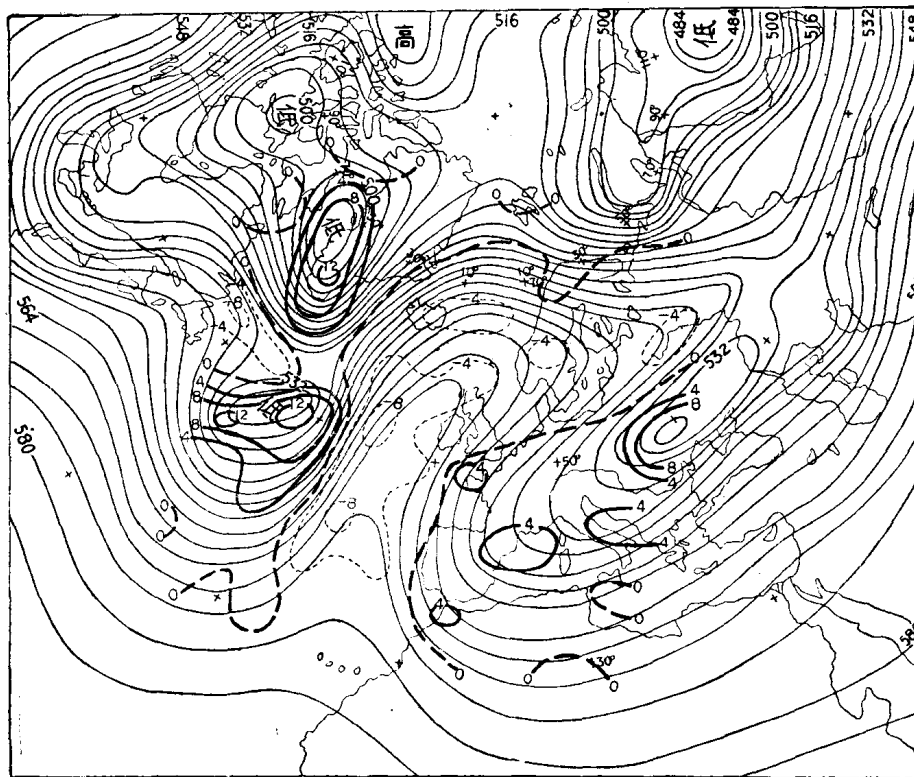


图1 1960年2月7日00时(世界时)500毫巴等压面形势及涡度分布图
(单位:等高线为什位势米。等涡度线为 10^{-5} 秒 $^{-1}$ 。以下各例中单位均与此图相同)

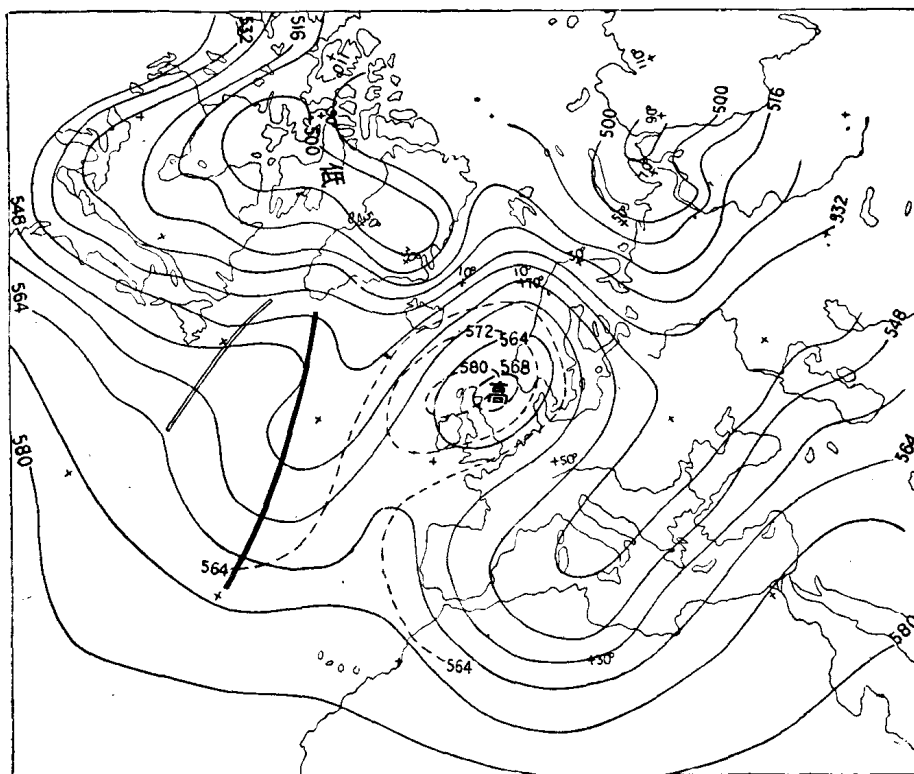


图2 1960年2月7日00时(世界时)报8日00时(世界时)500毫巴等压面预报图
及8日00时(世界时)实况简图(模式IV)
(虚线: 实况简图)

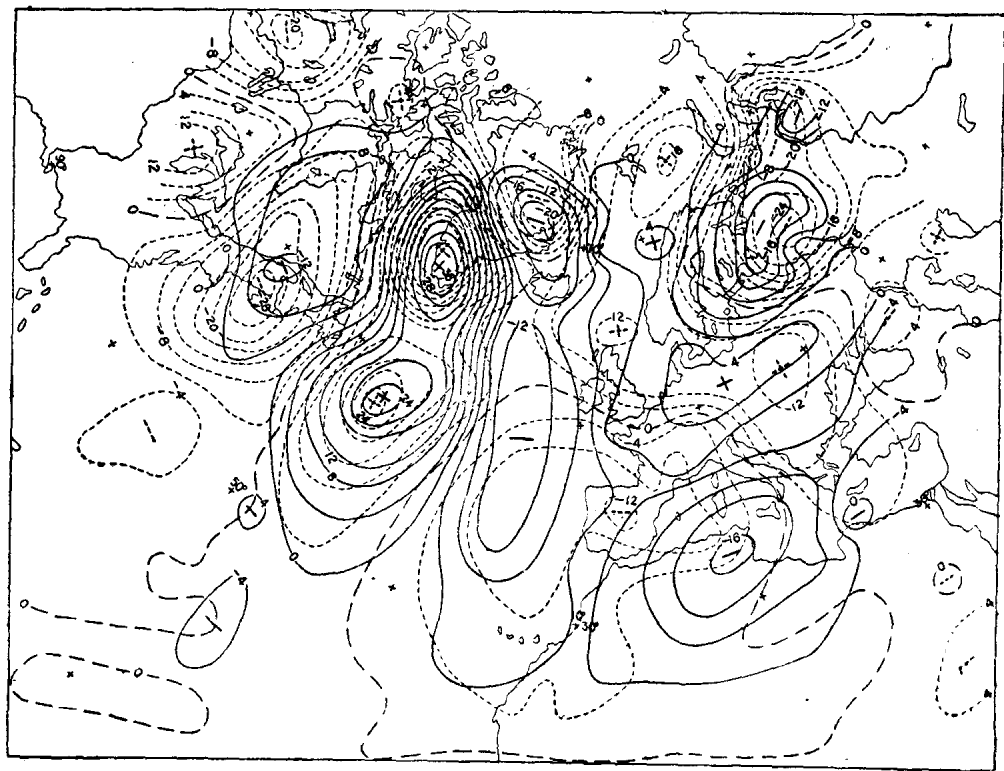


图3 1960年2月7日00时—8日00时(世界时)500毫巴预报变高及实况变高图
(实线: 预报变高, 虚线: 实况变高)

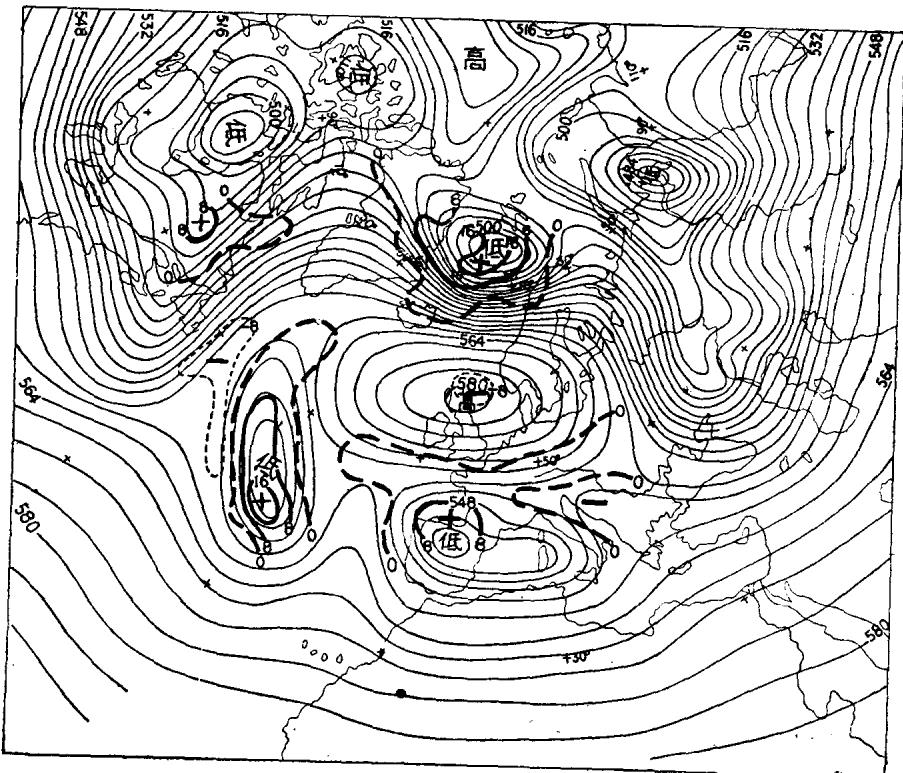


图4 1960年2月9日00时(世界时)500毫巴等压面形势图及涡度分布图

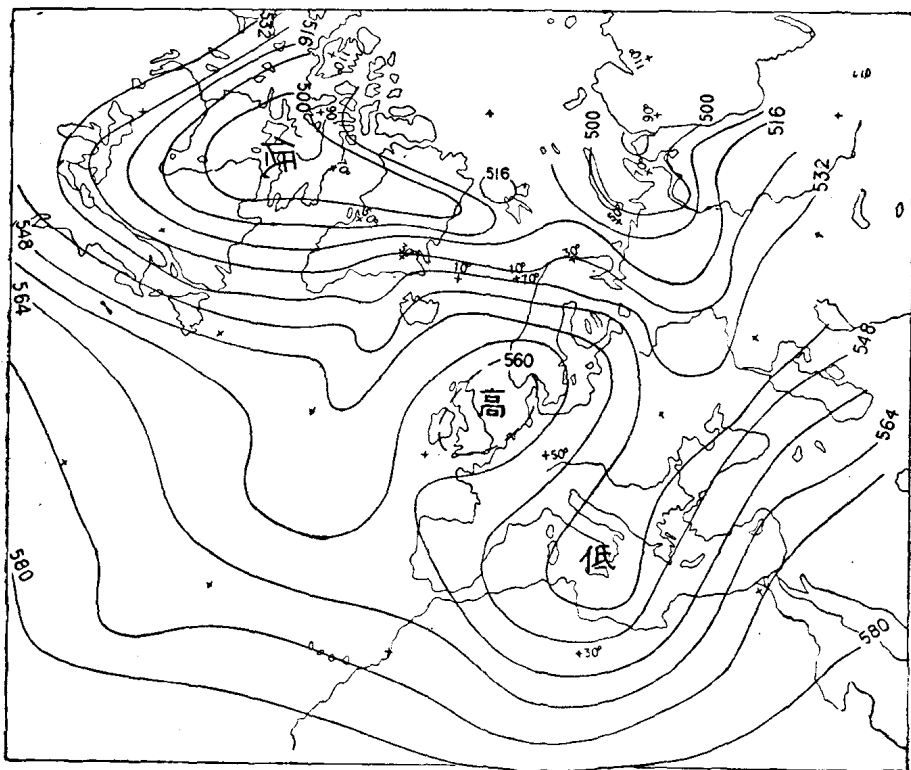


图 5 1960 年 2 月 7 日 00 时—9 日 00 时(世界时)500 毫巴等压面预报图(模式 IV)

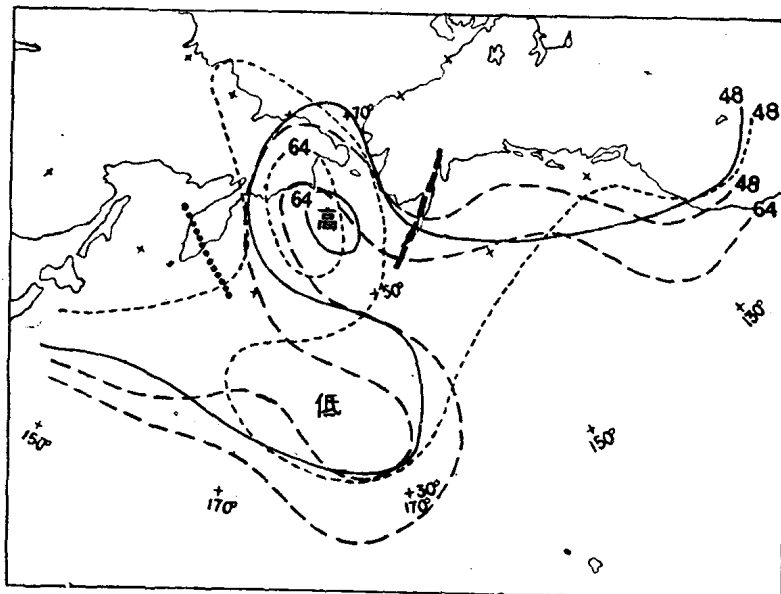


图 6 1956 年 12 月 6 日 00 时(世界时)500 毫巴等压面形势简图,报 7 日 00 时(世界时)预报简略及 7 日 00 时(世界时)实况简图(模式 I)
(实线: 预报图等高线, 长虚线: 初始场中等高线, 短虚线: 实况图中等高线)

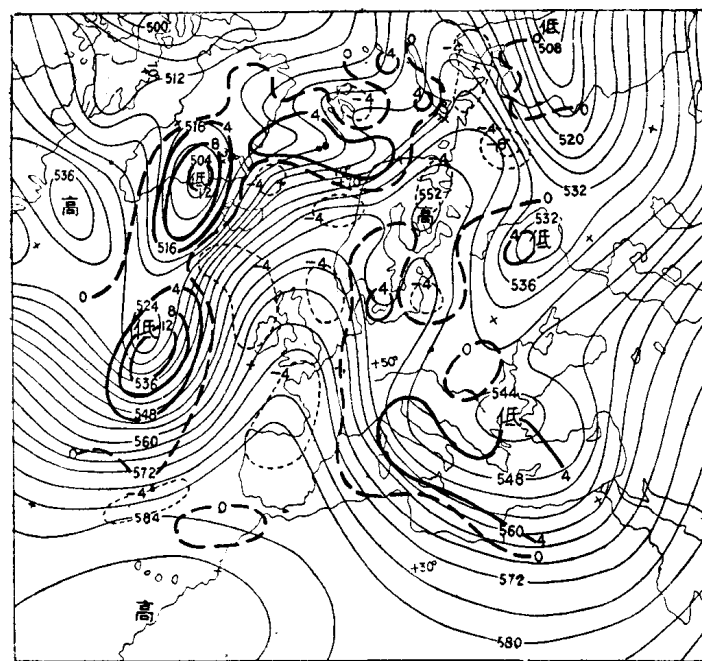


图 7 1960 年 3 月 5 日 00 时 (世界时) 500 毫巴等压面形势图及涡度分布图
(粗虚线为等涡度线)

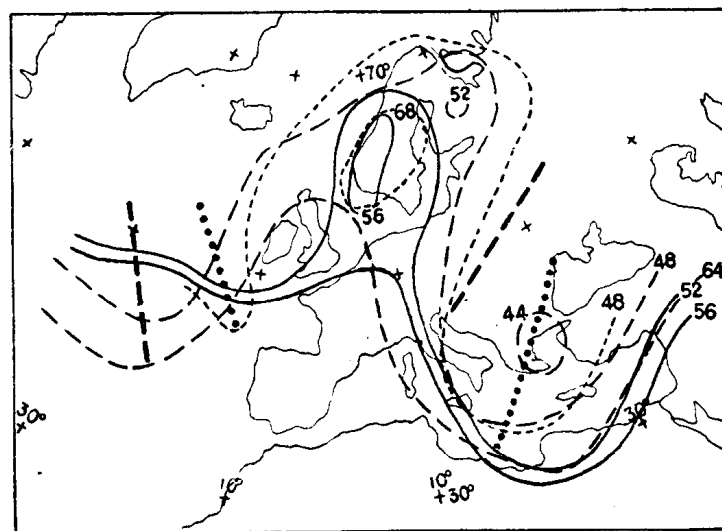


图 8 1960 年 3 月 5 日 00 时 (世界时) 报 6 日 00 时 (世界时)
500 毫巴预报图 (模式 IV)
(实线: 预报图等高线, 长虚线: 初始场等高线, 短虚线: 实况图等高线)

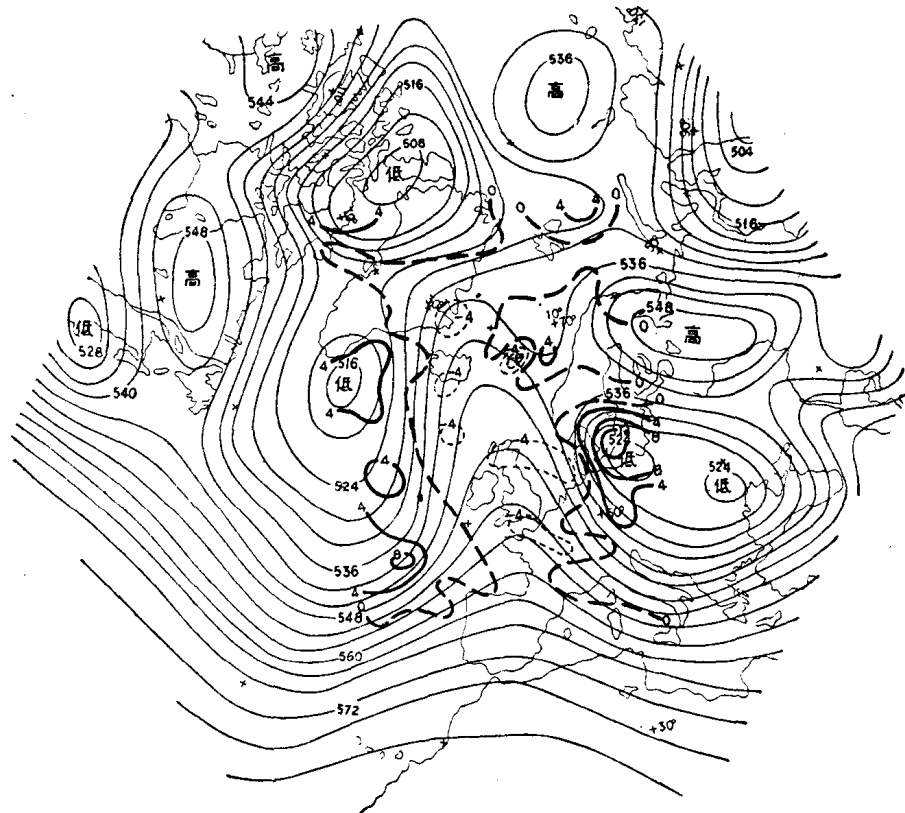


图 9 1958 年 3 月 16 日 00 时(世界时)500 毫巴等压面
形势及涡度分布图
(粗虚线为等涡度线)



图 10 1958 年 3 月 16 日 00 时(世界时)报 17 日 00 时(世界时)500 毫巴预报图,
初始场及 17 日 00 时(世界时)500 毫巴形势简图(模式 II)
(实线: 预报图等高线, 粗虚线: 初始场等高线, 细虚线: 17 日实况图等高线)

度平流的作用，很难获得阻塞形式的建立。

从上面 5 个例子的分析中，可归纳出以下几点：

1. 在高压脊发展的前期，即经向度较小，上(下)游的低压槽还未能伸展到高压脊的西南(东南部)，此时，在相应的涡度场分布下，高压脊上游的正涡度平流只能使高压脊减弱而不具备把它切断成孤立高压的条件。

2. 当高压脊经向度已发展得较大，且高压脊中部的等高线已很稀疏，上(下)游低压已楔入高压脊的西南(东南)部，此时，通过涡度平流的作用可以使高压脊切离为闭合高压。然而，高压脊西北部的发展以及强烈的低压槽发展都未算出来，因此，预报的高压脊切断过程可以和实际发展过程不一致。算出的高压中心位置比实况偏东，强度也比实况弱得多。而高压环流进一步加强，上下游低压的继续发展，使环流演变为典型的 Ω 形势，这就不是正压模式的能力所及了。

§ 3.2 阻塞形势建立的三参数模式试验

三参数模式(模式 III)相当于在正压模式(模式 IV)中加上平均层以上和以下的斜压作用。为了便于与正压模式比较，我们对用模式 IV 计算过的例 1, 3, 5，再用模式 III 来计算。此外，还对文献[4]中作过结构分析和数值计算的个例(1958 年 1 月 27 日，例 6)进行了试验。

从对例 1 和例 3 的计算结果看出，考虑了斜压作用后，切断出的高压以及高压脊的强度有所增强，比实况还是弱些。高压中心位置比实况偏东，没有改进。从例 1 的 24 小时计算结果(图 11)很清楚地看出上述情况。另外，从它的变高分布看(图 12)，斯堪的那维亚半岛地区的正变高数值比模式 IV 报得强，但高压脊西部仍然是负变高。看来模式 III 所给出的斜压作用也不能报出高压脊西部的正变高。48 小时的预报图上(图 13)，高压脊西北部的发展比模式 IV 预报的要强，高压中心减弱得也不多，环流已具有 Ω 形势，但是远不如实况明显(见图 4)。

模式 III 所反映的斜压作用，虽然使高压脊北部的正变高有所增加，但不如实况强，所以也没有算出例 5 中高压的形成。对例 6 也是这样。下面我们将以例 6 为代表来进行讨论。在文献[4]中曾用正压模式和两层模式对本例作过数值计算，24 小时的计算结果中都没有获得阻塞高压的建立。从 1 月 27 日 00 时(世界时)500 毫巴图看来(图 14)，大西洋东岸的高压脊还很平浅，而根据 § 3.1 的讨论可以预见到正压模式对该例将是无能为力的。至于两层模式只能反映大气的部分斜压性，不能描述复杂的大气结构和系统的强烈发展^[2]。而此例的阻塞形势建立过程相当迅速，1 月 27 日英国上空的高压脊是 24 小时内发展起来的，这在对流层上层最为明显，1 月 28 日高压脊已切断为孤立的高压(图 15)。1 月 29 日高压下游有横槽形成(在地中海上方)，此时，阻塞形势已发展到最完善的阶段(图 16)。在整个发展过程中，大气的水平面斜压性很强，温压场变化也大^[4]，因此，两层模式没能报出高压中心。我们用三参数模式所作的计算也失败了。24 小时的 500 毫巴